

ИССЛЕДОВАНИЕ ХАРАКТЕРИСТИК ЛИНЕЙНЫХ ЦЕПЕЙ И СИСТЕМ ОПЕРАТОРНЫМ МЕТОДОМ (Прямоугольный импульс)

*Учебное пособие для спецпрактикума по курсу
«Радиоэлектроника»*

Ц е л ь р а б о т ы: экспериментальное исследование и расчет операторным методом преобразований периодической последовательности прямоугольных импульсов в линейных LCR -цепях.

Литература

1. Хохлов А.В. Теоретические основы радиоэлектроники. Саратов. Изд-во Саратов. ун-та, 2005.
2. Нефедов В.И. Основы радиоэлектроники и связи. М.: Высш.шк., 2002.
3. Баскаков С.И. Радиотехнические цепи и сигналы. – М.: Высш.шк., 1983.

Контрольные вопросы

1. При каких условиях электрическая LCR -цепь является линейной, при каких условиях - нелинейной?
2. Какова методика применения операторного метода к анализу прохождения сигналов через линейные цепи?
3. При каких соотношениях постоянной времени цепи и длительности импульса возможно дифференцирование (интегрирование) сигнала?
4. Каковы формы выходных сигналов, снимаемых с резистора, конденсатора и катушки индуктивности в RC - и RL -цепях при различных соотношениях длительности прямоугольного импульса и постоянной времени цепи?

Задания для самостоятельной работы

1. Вывести формулы (11)-(15), (17)-(19), (29)-(31).
2. Вывести формулы для K_R и K_C в RC -цепи, для K_L и K_R в RL - цепи в операторной форме.
3. Для указанных преподавателем типа и параметров цепи рассчитать операторным методом изображение выходного сигнала и сигнал $U_{\text{вых}}(t)$.

ТЕОРИТИЧЕСКАЯ ЧАСТЬ

1. Линейные цепи и системы

Цепь или система называется *линейной*, если протекающие в ней процессы описываются линейными дифференциальными или алгебраическими уравнениями и удовлетворяют *принципу суперпозиции*, согласно которому отклик системы на сумму воздействий равняется сумме откликов на отдельные воздействия:

$$\mathbf{T} \sum_k^N \alpha_k x_k(t) = \sum_k^N \alpha_k \mathbf{T} x_k(t), \quad (1)$$

где \mathbf{T} – системный оператор системы.

В литературе встречается более узкое определение линейной системы как составленной из элементов, параметры которых *не зависят от величин воздействий*, т.е. от величин напряжений или токов. Это определение удобно использовать, если внутренняя структура системы известна и ее можно представить в виде соединения конкретных элементов, что и предполагается в данной лабораторной работе.

Строго говоря, все физические системы нелинейны. Но в определенных границах изменения переменных, характеризующих физический процесс, реальную систему можно *линеаризовать*, т.е. представить линейной моделью. Простейшей и в то же время достаточно универсальной моделью линейной системы является четырехполюсник, в котором связь входных и выходных сигналов задана системным оператором \mathbf{T} :

$$x_{\text{ВЫХ}}(t) = \mathbf{T} x_{\text{ВХ}}(t), \quad (2)$$

где $x_{\text{ВХ}}(t)$ – сигнал на входе четырехполюсника (воздействие), $x_{\text{ВЫХ}}(t)$ – сигнал на его выходе (отклик или реакция системы).

Для описания линейных систем кроме операторов \mathbf{T} часто используются переходные и импульсные характеристики, представляющие временное описание. Если на входе четырехполюсника, лишенного начальных запасов энергии, задан сигнал в виде функции Хевисайда $x(t) = \sigma(t)$, то его реакция $x(t)$ удовлетворяет равенству

$$x_{\text{ВЫХ}}(t) = \mathbf{T} \sigma(t) = g(t). \quad (3)$$

Отклик $g(t)$ линейной системы на элементарное воздействие в виде функции Хевисайда $\sigma(t)$ будем называть *переходной характеристикой* системы. Для определения $g(t)$ не нужно знать внутреннюю структуру системы. Если

же ее структура известна, то $g(t)$ можно рассчитать аналитически. Переходные характеристики линейных систем легко измерить осциллографическим методом.

Если на входе четырехполюсника, задан сигнал в виде дельта-функции Дирака $\delta(t)$, то его реакция $x_{\text{вых}}(t)$ удовлетворяет равенству

$$h(t) = \mathbf{T} \delta(t). \quad (4)$$

Отклик $h(t)$ линейной системы на элементарное воздействие в виде дельта-функции Дирака $\delta(t)$ будем называть *импульсной характеристикой* системы. Анализ характеристик линейных цепей и систем в конечном счете сводится к исследованию временных изменений откликов на импульсные или непрерывные воздействия в течение определенного времени (теоретически от нуля до ∞). Пассивную линейную систему для низких частот [1, с.115-116] можно представить простой LCR , CR или LR -цепью, составленной из элементов с сосредоточенными параметрами (рис. 1).

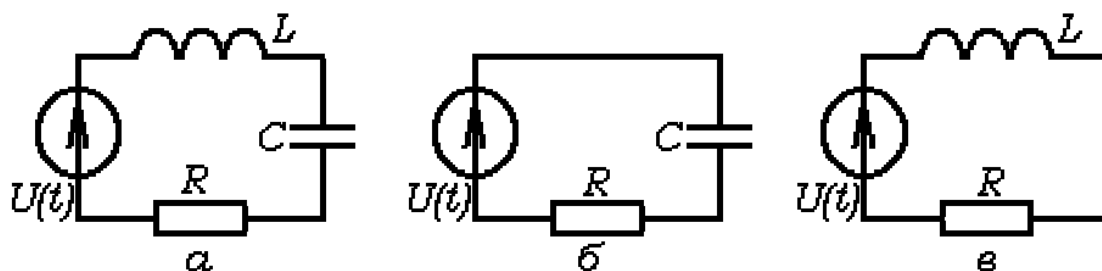


Рис. 1.

Когда все элементы цепи резистивные, она описывается линейным алгебраическим уравнением. Цепи, содержащие резистор R и один реактивный элемент, т.е. инерционные цепи с одной индуктивностью L или емкостью C описываются дифференциальными уравнениями первого порядка. Длительность запаздывания отдельных составляющих отклика относительно воздействия оказывается различной, что приводит к изменению формы сигнала. В RC - и RL -цепях может происходить дифференцирование или интегрирование сигналов.

Системы с двумя энергоемкими элементами разного вида (L и C) обладают резонансными свойствами и описываются дифференциальными уравнениями второго порядка. Когда $1/\sqrt{LC} > R/2L$ возникает *колебательный режим*, в противном случае – *апериодический режим*.

Электрическая цепь называется *дифференцирующей*, если мгновенные значения напряжения на выходе цепи пропорциональны производной по времени от мгновенных значений напряжения на входе цепи, т.е.

$$U_{\text{ВЫХ}} = M_1 \frac{dU_{\text{ВХ}}}{dt},$$

и *интегрирующей*, если мгновенные значения напряжения на выходе цепи пропорциональны интегралу от мгновенных значений напряжения на входе цепи, т.е.

$$U_{\text{ВЫХ}} = M_2 \int_0^t dU_{\text{ВХ}} dt,$$

где M_1 и M_2 – некоторые коэффициенты пропорциональности, зависящие от постоянной времени цепи.

Постоянной времени цепи называется промежуток времени τ , в течение которого параметр, характеризующий переходный процесс, изменяется в e раз.

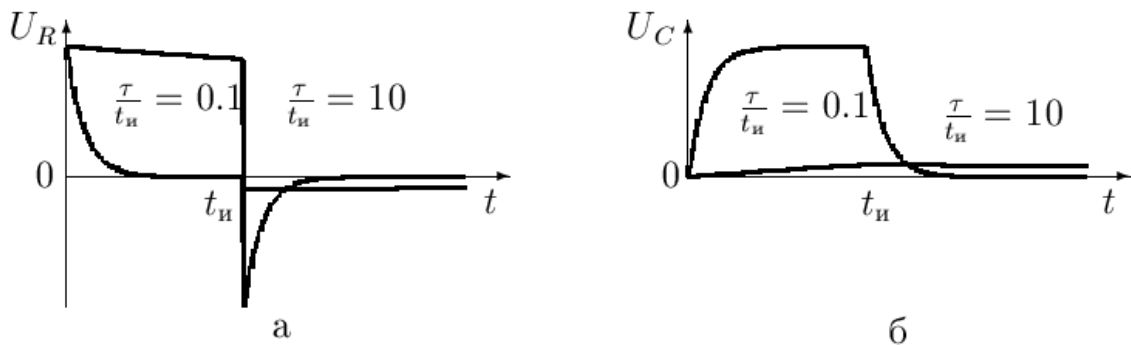


Рис. 2.

Идеальное дифференцирование и интегрирование в RC - или RL -цепях невозможно, но при малых значениях постоянной времени цепи τ выходное напряжение на R в RC -цепи или на L в RL -цепи представляет совокупность двух остrokонечных импульсов, разделенных временем $t_{и}$ и напоминающих по форме дельта-функции Дирака, которые должны были появиться в указанные моменты времени при строгом дифференцировании прямоугольного импульса. Остrokонечные импульсы можно считать удовлетворительными моделями дельта-функций, а цепь *квазидифференцирующей* или «частично дифференцирующей», если

$$\frac{\tau}{t_{и}} < \frac{1}{10} \quad (5)$$

Те же цепи при больших значениях постоянных времени цепи

$$\frac{\tau}{t_{и}} > 10 \quad (6)$$

могут выполнять функции интегрирующих устройств. При этом выходные напряжения в пределах длительности импульса изменяется почти линейно

(почти идеальное интегрирование), а с окончанием импульса убывает по экспоненциальному закону.

Для экспериментального определения характеристик линейной цепи достаточно последовательно соединить источник сигналов с пассивными элементами цепи и поочередно измерить возникающие на них отклики. Основная задача состоит в правильном выборе сигнала воздействия.

Прежде всего, сигнал должен описываться простыми математическими соотношениями. Этому требованию удовлетворяют периодические последовательности импульсов прямоугольной формы. Нельзя не учитывать и того, что последовательность прямоугольных импульсов легко практически реализовать в лабораторной работе с помощью простейшего автогенератора – мультивибратора, а исследование характеристик линейных цепей при таком воздействии имеет большой практический смысл, так как прямоугольные импульсы наиболее часто встречаются в радиосистемах различного назначения (в радиолокации, в телевизионной и измерительной технике), а в цифровых устройствах и ЭВМ являются основным видом сигналов. При импульсных воздействиях наиболее эффективный анализ характеристик удастся выполнить методом преобразования Лапласа.

2. Прямое и обратное преобразования Лапласа

Пусть $f(t)$ существует при $t \geq 0$ и не удовлетворяет условию абсолютной интегрируемости. Введем вспомогательную функцию $f_1(t) = f(t)e^{-\sigma t}$ и выберем параметр σ так, чтобы $f_1(t)$ была абсолютно интегрируемой¹. Минимальное значение σ , при котором вспомогательная функция абсолютно интегрируема, называется *абсциссой сходимости*.

Абсолютно интегрируемую функцию $f_1(t)$ можно разложить на спектральные составляющие с помощью преобразования Фурье. Тогда

$$\int_{-\infty}^{\infty} f_1(t)e^{-j\omega t} dt = \int_{-\infty}^{\infty} f(t)e^{-(\sigma+j\omega)t} dt = F(\sigma + j\omega). \quad (7)$$

Вводя комплексную лапласовскую переменную $s = \sigma + j\omega$ и учитывая, что $f(t)$ и $f_1(t)$ отличны от нуля при $t \geq 0$, получим:

$$\mathbf{L}[f(t)] = F(s) = \int_0^{\infty} f(t)e^{-st} dt. \quad (8)$$

¹Построить абсолютно интегрируемую вспомогательную функцию не всегда возможно. Если $x(t)$ растет быстрее, чем любая экспонента, например $x(t) = e^{t^2}$, то области сходимости не существует.

Преобразование $\mathbf{L}[f(t)]$ называется *преобразованием Лапласа*. Функция $F(s)$, зависящая от комплексной переменной $s = \sigma + j\omega$, называется *лапласовским, операторным* или *L-изображением* функции $x(t)$.

Для практического использования \mathbf{L} -преобразования необходимо правило восстановления $x(t)$ по заданной функции комплексной частоты $F(\sigma + j\omega)$ или обращения уже описанного процесса.

Поскольку спектральная плотность вспомогательной абсолютно интегрируемой функции $f_1(t)$ известна ($F(\sigma + j\omega)$), ее можно восстановить, используя обратное преобразование Фурье:

$$f_1(t) = \frac{1}{2\pi} \int_{-\infty}^{\infty} F(\sigma + j\omega) e^{j\omega t} d\omega. \quad (9)$$

Чтобы перейти от $f_1(t)$ к искомой функции $f(t)$, достаточно умножить обе части равенства (9) на $e^{\sigma t}$, внести эту экспоненту под знак интеграла и заменить интегрирование по ω интегрированием по комплексной переменной $s = \sigma + j\omega$ ($d\omega = ds/j$). Тогда получим

$$f(t) = \mathbf{L}^{-1}[F(s)] = \frac{1}{2\pi j} \int_{\sigma - j\infty}^{\sigma + j\infty} F(s) e^{st} ds. \quad (10)$$

Это интегральное соотношение называется *обратным L-преобразованием*. Оно восстанавливает оригинал в виде функции вещественной переменной, чаще всего времени ($f(t)$), по ее лапласовскому изображению $F(s)$.

Построенная пара преобразований Лапласа

$$F(s) = \mathbf{L}[f(t)], \quad f(t) = \mathbf{L}^{-1}[F(s)]$$

аналогична паре преобразований Фурье. Но преобразование Фурье представляет сигнал бесконечным числом гармонических составляющих, а преобразование Лапласа – бесконечным числом элементарных экспоненциально затухающих синусоидальных функций различных частот. Поэтому лапласовскую переменную $s = \sigma + j\omega$ часто называют *комплексной частотой*, а интегральное преобразование Фурье рассматривают как частный случай двустороннего преобразования Лапласа при $s = j\omega$.

Если в преобразованиях Фурье интегрирование ведется по оси $j\omega$, то в преобразованиях Лапласа – на комплексной плоскости вдоль прямой, параллельной мнимой оси $j\omega$.

Рассмотрим \mathbf{L} -изображения широко распространенных функций:

а) изображение $F(s)$ функции Хевисайда $\sigma(t)$ имеет вид

$$F(s) = \mathbf{L}[\sigma(t)] = \int_0^{\infty} e^{-st} dt = -\frac{e^{-st}}{s} \Big|_0^{\infty} = \frac{1}{s}, \quad (11)$$

$$\text{б) } F(s) = \mathbf{L}[e^{-\alpha t} \sigma(t)] = \int_0^{\infty} e^{-(\alpha+s)t} dt = -\frac{e^{-(\alpha+s)t}}{s+\alpha} \Big|_0^{\infty} = \frac{1}{s+\alpha}, \quad (12)$$

$$\text{в) } F(s) = \mathbf{L}[e^{\pm j\omega t} \sigma(t)] = \int_0^{\infty} e^{-(s \mp j\omega)t} dt = -\frac{e^{-(s \mp j\omega)t}}{s \mp j\omega} \Big|_0^{\infty} = \frac{1}{s \mp j\omega}, \quad (13)$$

$$\begin{aligned} \text{г) } F(s) &= \mathbf{L}[\cos \omega t \cdot \sigma(t)] = \frac{1}{2} \int_0^{\infty} (e^{j\omega t} + e^{-j\omega t}) e^{-st} dt = \\ &= \frac{1}{2} \left(\frac{1}{s - j\omega} + \frac{1}{s + j\omega} \right) = \frac{s}{s^2 + \omega^2}, \end{aligned} \quad (14)$$

$$\begin{aligned} \text{д) } F(s) &= \mathbf{L}[\sin \omega t \cdot \sigma(t)] = \frac{1}{2j} \int_0^{\infty} (e^{j\omega t} - e^{-j\omega t}) e^{-st} dt = \\ &= \frac{1}{2j} \left(\frac{1}{s - j\omega} - \frac{1}{s + j\omega} \right) = \frac{\omega}{s^2 + \omega^2}. \end{aligned} \quad (15)$$

В двух последних случаях использована теорема линейности \mathbf{L} -преобразований.

3. Основные свойства преобразований Лапласа

Будем формулировать основные свойства \mathbf{L} -преобразований в виде теорем.

1. Теорема линейности. Если $F_i(s) = \mathbf{L}[f_i(t)]$, то изображение алгебраической суммы сигналов равно алгебраической сумме их изображений:

$$F(s) = \mathbf{L}\left[\sum_{i=1}^N \alpha_i f_i(t)\right] = \left[\sum_{i=1}^N \alpha_i F_i(s)\right]. \quad (16)$$

2. Теорема об изображении запаздывающего сигнала:

$$\mathbf{L}[f(t - \tau)] = e^{-s\tau} \mathbf{L}[f(t)]. \quad (17)$$

3. Теорема о смещении изображения является, по существу, обратной для теоремы об изображении запаздывающего сигнала, т.е.

$$\mathbf{L}[e^{-\alpha t} f(t)] = F(s + \alpha). \quad (18)$$

Итак, при умножении оригинала на экспоненциальный множитель $e^{-\alpha t}$ изображение смещается в области комплексных частот на величину α , а при умножении изображения сигнала на экспоненциальный множитель $e^{-s\tau}$ оригинал смещается во времени на величину τ . Из этих теорем следуют два частных случая: изображения синусоиды и косинусоиды с экспоненциально затухающими амплитудами с учетом формул (14), (15) и (18) имеют вид

$$\mathbf{L}[e^{-\alpha t} \cos \omega t] = \frac{s + \alpha}{(s + \alpha)^2 + \omega^2}, \quad \mathbf{L}[e^{-\alpha t} \sin \omega t] = \frac{\omega}{(s + \alpha)^2 + \omega^2}. \quad (19)$$

4. Лапласовское изображение производной от сигнала соответствует аналогичной теореме для спектров, но спектральная теорема справедлива только при нулевых начальных условиях. Рассмотрим общий случай.

Пусть $\mathbf{L}[f(t)] = F(s)$. Изображение $F_1(s)$ производной от сигнала имеет вид

$$F_1(s) = \int_0^{\infty} \frac{df}{dt} e^{-st} dt.$$

Интегрируя это выражение по частям, получим:

$$F_1(s) = f(t)e^{-st} \Big|_0^{\infty} + s \int_0^{\infty} f(t)e^{-st} dt = -f(0) + sF(s).$$

Таким образом, справедливо равенство

$$\mathbf{L} \left[\frac{df}{dt} \right] = -f(0) + s\mathbf{L}[f(t)] \quad (20)$$

а изображение временной производной сигнала содержит значение функции при $t = 0$, т.е. начальное условие задачи. Если многократно использовать формулу (20), то теорему об изображении производной можно обобщить на производные более высоких порядков:

$$\mathbf{L} \left[\frac{d^n f}{dt^n} \right] = s^n \mathbf{L}[f(t)] - s^{n-1} f(0) - s^{n-2} \frac{df}{dt} \Big|_{t=0} - \dots - s \frac{d^{n-2} f}{dt^{n-2}} \Big|_{t=0} - \frac{d^{n-1} f}{dt^{n-1}} \Big|_{t=0}.$$

Изображение временной производной n -го порядка теперь содержит кроме начального значения функции еще и начальные значения ее производных до $n-1$ -го порядка включительно.

5. Изображение интеграла не зависит от начальных условий. Пусть дана функция $\phi(t) = \int_0^t f(w)dw$, а ее изображение $\mathbf{L}[\phi(t)] = F(s)$. Производная функции $\phi(t)$ удовлетворяет соотношению $d\phi(t)/dt = f(t)$.

Пусть $\mathbf{L}[f(t)] = F_1(s)$. Согласно теореме о производной сигнала для $F_1(s)$ получаем выражение $F_1(s) = sF(s) - \phi(0)$. Поскольку $\phi(0) = 0$ (верхний предел интеграла равен нижнему), изображение интеграла принимает вид

$$\mathbf{L} \left[\int_0^t f(w)dw \right] = \frac{1}{s} \mathbf{L}[f(t)]. \quad (21)$$

6. Теорема о производной изображения: если

$$\mathbf{L}[f(t)] = F(s), \quad \text{то} \quad - \frac{dF(s)}{ds} = \mathbf{L}[tf(t)]. \quad (22)$$

Эту теорему нетрудно доказать, если продифференцировать соотношение (8) по комплексной переменной s . Теорему о производной порядка n от изображения функции можно получить, если многократно использовать формулу (22):

$$\mathbf{L}[t^n f(t)] = (-1)^n \frac{d^n F(s)}{ds^n}.$$

Теорема о производной изображения имеет важные следствия:

6(а) если $f(t) = \sigma(t)$, то

$$\mathbf{L}[t\sigma(t)] = \frac{1}{s^2}, \quad \mathbf{L}[t^n \sigma(t)] = \frac{n!}{s^{n+1}}; \quad (23)$$

6(б) если $f(t) = e^{-\alpha t}$, то

$$\mathbf{L}[te^{-\alpha t}] = \frac{1}{(s + \alpha)^2}, \quad \mathbf{L}[t^n e^{-\alpha t}] = \frac{n!}{(s + \alpha)^{n+1}}. \quad (24)$$

Отношение комплексной амплитуды отклика линейной системы на гармоническое воздействие к комплексной амплитуде воздействия называется *комплексной функцией передачи* цепи $\dot{H}(j\omega)$, а отношение изображений отклика и воздействия – *операторной передаточной* или *системной функцией* $H(s)$. Это частотные характеристики линейной цепи или системы.

Комплексная функция передачи $\dot{H}(j\omega)$ представляет прямое преобразование Фурье импульсной характеристики $h(t)$ линейной цепи. Справедливо и обратное преобразование Фурье. Поэтому

$$\dot{H}(j\omega) = \int_{-\infty}^{\infty} h(t)e^{-j\omega t} dt, \quad h(t) = \frac{1}{2\pi} \int_{-\infty}^{\infty} \dot{H}(j\omega)e^{j\omega t} d\omega. \quad (25)$$

Системная функция $H(s)$ представляет \mathbf{L} -изображение импульсной характеристики $h(t)$. Поэтому

$$H(s) = \int_0^{\infty} h(t)e^{-st} dt, \quad h(t) = \frac{1}{2\pi j} \int_{\sigma-j\infty}^{\sigma+j\infty} H(s)e^{st} ds. \quad (26)$$

Итак, формулы (25) и (26) устанавливают взаимно-однозначные соответствия временных и частотных описаний. Частотное описание цепей и систем тоже позволяет находить отклики на произвольные (неэлементарные) воздействия [1, с. 153-154]. Методика экспериментального исследования и расчета преобразований сигналов с помощью частотных описаний исследуются в лабораторной работе.

4. Принципы расчета и моделирования характеристик линейных систем

Расчет спектральным методом [1, с.153] отклика линейной цепи на периодическое воздействие $\dot{U}(t) = \dot{U}(t+T)$ является весьма сложным, так как период сигнала T приходится делить на N равных частей, а воздействие разлагать в ряд Фурье

$$\dot{U}(t) = \sum_{n=-\infty}^{\infty} \dot{C}_n e^{jn\omega_I t},$$

где T – период сигнала, $\omega_I = 2\pi/T$ – круговая частота его первой гармоники. Далее для каждой гармоники воздействия \dot{C}_n рассчитывается комплексный коэффициент передачи цепи $\dot{K}_U(jn\omega_I)$, вычисляются комплексные амплитуды гармоник в отклике цепи $\dot{C}_n = |\dot{C}_n| |\dot{K}_U(jn\omega_I)| e^{j(\varphi_{K_n} + \varphi_n)}$ и суммируются при каждом значении $t_i = iT/N$ в виде

$$\dot{U}(t_i) = \sum_{n=-\infty}^{\infty} \dot{C}_n e^{jn\omega_I t_i} = \sum_{n=-\infty}^{\infty} |\dot{C}_n| |\dot{K}_U(jn\omega_I)| e^{j(n\omega_I t_i + \varphi_{K_n} + \varphi_n)}.$$

Более простыми оказываются вычисления временных реализаций выходных сигналов методом преобразований Лапласа, когда операторные изображения выходных сигналов сразу преобразуются в непрерывные временные функции. Начнем с операторных изображений прямоугольных импульсов и операторных системных функций LCR -цепей.

Операторное представление последовательности импульсов.

Представим прямоугольный импульс с амплитудой U_0 и длительностью t_n (рис. 3,а) наложением двух сдвинутых во времени функций Хевисайда (рис. 3,б):

$$U(t) = U_0\sigma(t) - U_0\sigma(t - t_n). \quad (27)$$

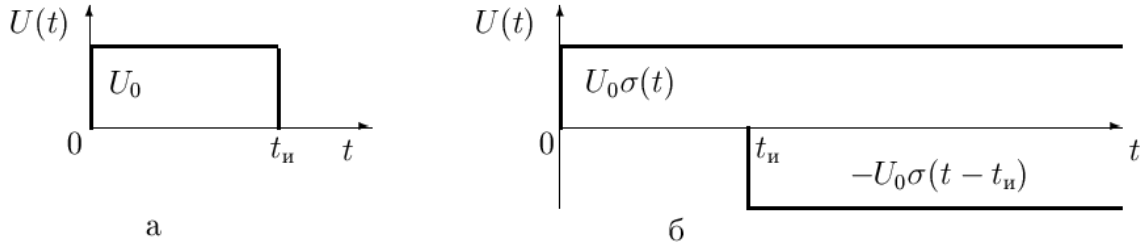


Рис. 3.

Используя изображение функции Хевисайда и теорему запаздывания (17), представим изображение $U(s)$ функции $U(t)$ в виде

$$U(s) = \frac{U_0}{s} - \frac{U_0}{s}e^{-st_n} = \frac{U_0}{s} (1 - e^{-st_n}). \quad (28)$$

Периодическую последовательность импульсов (рис. 4) можно представить в виде суммы сдвинутых на kT изображений. Эти формулы предполагается вывести самостоятельно.

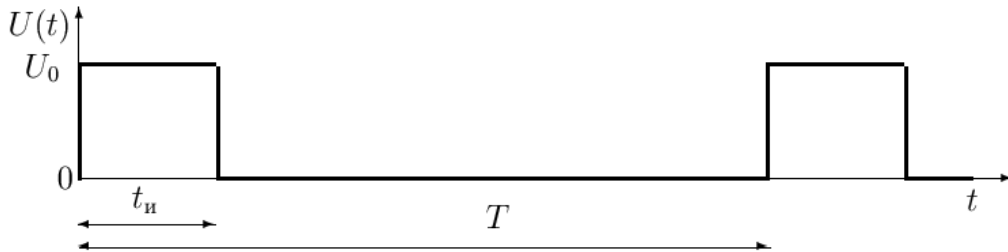


Рис. 4.

Комплексные и операторные коэффициенты передачи линейных цепей. В лабораторной работе исследуются характеристики LCR , RC и RL -цепей (рис. 1). Две последние являются частными случаями LCR -цепи при $L=0$ и $1/C=0$.

Комплексная амплитуда тока, вызванного в LCR -цепи действием источника ЭДС $U(t) = U_0e^{j\omega t}$, имеет вид

$$\dot{I}_m = \frac{U_0}{R + j\omega L + 1/j\omega C}.$$

Тогда для комплексных и операторных коэффициентов передачи имеем:

$$\dot{K}_R(\omega) = \frac{\dot{I}_m R}{U_0} = \frac{R}{R + j\omega L + 1/j\omega C}, \quad K_R(s) = \frac{R}{R + sL + 1/sC} = \frac{sR/L}{s^2 + sR/L + 1/LC}, \quad (29)$$

$$\dot{K}_L(\omega) = \frac{j\omega L \dot{I}_m}{U_0} = \frac{j\omega L}{R + j\omega L + 1/j\omega C}, \quad K_L(s) = \frac{sL}{R + sL + 1/sC} = \frac{s^2}{s^2 + sR/L + 1/LC}, \quad (30)$$

$$\dot{K}_C(\omega) = \frac{\dot{I}_m/j\omega C}{U_0} = \frac{1/j\omega C}{R + j\omega L + 1/j\omega C}, \quad K_C(s) = \frac{1/sC}{R + sL + 1/sC} = \frac{1/LC}{s^2 + sR/L + 1/LC}. \quad (31)$$

Комплексные и операторные коэффициенты передачи RC - (рис. 1,б) и RL -цепи (рис. 1,в) предполагается вывести самостоятельно из (29)-(31) при $L = 0$ и $C \rightarrow \infty$ и показать, что они монотонно изменяются с частотой.

Если входной сигнал (28) и операторный коэффициент передачи (29)-(31) представлены изображениями, то их произведение, например, $U_{R\text{вых}}(s)$, тоже будет функцией комплексной частоты s , т.е. является лапласовским изображением выходного сигнала:

$$\begin{aligned} U_{R\text{вых}}(s) &= \frac{F_1(s)}{F_2(s)} (1 - e^{-st_n}) = \frac{U_0}{s} (1 - e^{-st_n}) \frac{sR/L}{s^2 + sR/L + 1/LC} = \\ &= \frac{2\alpha U_0}{s^2 + 2\alpha s + \omega_0^2} (1 - e^{-st_n}), \end{aligned} \quad (32)$$

где $\alpha = R/2L$, $\omega_0^2 = 1/LC$. Но задачу можно считать решенной лишь тогда, когда выходной сигнал является функцией времени.

Для перехода от изображения $F(s)$ к оригиналу $f(t)$ в общем случае используется формула Римана-Меллина, но большинство L -изображений радиоэлектронных сигналов представляют дробно-рациональные функции, т.е. отношения многочленов. Отношения называются *правильными*, когда степень многочлена в числителе меньше, чем степень знаменателя. L -изображения функций включения, экспоненциальных и экспоненциально затухающих или нарастающих синусоидальных или косинусоидальных сигналов представляют правильные дробно-рациональные функции.

Многочлен n -й степени с вещественными коэффициентами имеет n корней, вещественных или попарно-сопряженных. Корни многочлена-числителя $F(s)$ обращают дробно-рациональную функцию в нуль и называются *нулями*, а s , при которых многочлен-знаменатель обращается в нуль, а $F(s) \rightarrow \infty$, называются *полюсами* дробно-рациональной функции. Если полюсы (нули) функции различны, то они называются *простыми*. Если же среди них встречаются одинаковые значения, то полюсы (нули) называются *кратными*. Рас-

положение нулей и полюсов L -изображения полностью определяет структуру сигнала-оригинала.

Рассмотрим методы восстановления аналитической формы сигналов по их изображениям. Основу методов составляет разложение правильных дробно-рациональных функций на элементарные дроби, для которых известны оригиналы.

Пусть изображение некоторой функции представляе правильное отношение, т.е. степень m многочлена $F_1(s)$ меньше степени n многочлена $F_2(s)$. Тогда

$$F(s) = \frac{F_1(s)}{F_2(s)}. \quad (33)$$

Задача заключается в том, чтобы представить $F(s)$ в виде суммы простых дробей, для которых известны оригиналы. С этой целью используем две известные из математики теоремы.

Теорема 1: действительный или комплексный многочлен $F(s)$ степени n относительно s может быть единственным способом представлен произведением n линейных множителей:

$$F_2(s) = a_0 s^n + a_1 s^{n-1} + \dots + a_{n-1} s + a_n = a_0 \prod_{i=1}^n (s - s_i),$$

где s_i – корни многочлена $F_2(s)$.

Теорема 2: отношение многочленов $F_1(s)$ степени m и $F_2(s)$ степени n ($n > m$) может быть представлено в виде суммы *элементарных дробей*, соответствующих корням многочлена $F_2(s)$. В рассматриваемой лабораторной работе все корни простые. Поэтому

$$F(s) = \frac{F_1(s)}{F_2(s)} = \sum_{i=1}^n \frac{A_i}{s - s_i} = \frac{A_1}{s - s_1} + \frac{A_2}{s - s_2} + \dots + \frac{A_n}{s - s_n}. \quad (34)$$

Коэффициенты A_i называются *вычетами*. Самый простой способ вычисления A_i таков. Если умножить обе части равенства (34) на $(s - s_k)$:

$$\frac{F_1(s)}{F_2(s)}(s - s_k) = A_k + (s - s_k) \sum_{\substack{i=1 \\ i \neq k}}^n \frac{A_i}{(s - s_i)},$$

о при $s \rightarrow s_k$ все слагаемые, кроме A_k , обращаются в нуль, а левая часть равенства превращается в неопределенность так как $F_2(s)$ содержит $(s - s_k)$ в качестве сомножителя. Раскрывая неопределенность по правилу Лопиталья, получим:

$$\lim_{s \rightarrow s_k} \frac{F_1(s)(s-s_k)}{F_2(s)} = \lim_{s \rightarrow s_k} \frac{F_1(s) + (s-s_k)F_1'(s)}{F_2'(s)} = \left. \frac{F_1(s)}{F_2'(s)} \right|_{s=s_k} = A_k, \quad (35)$$

а окончательное выражение для оригинала принимает вид:

$$f(t) = \mathbf{L}^{-1}[F(s)] = \sum_{k=1}^n \frac{F_1(s_k)}{F_2'(s_k)} e^{s_k t} \sigma(t). \quad (36)$$

Описанная методика применима и в тех случаях, когда один из корней $F_2(s)$ равен нулю, т.е. $F_2(s) = s\Phi(s) = s \prod_{k=1}^n (s-s_k)$. Тогда

$$f(t) = \mathbf{L}^{-1}[F(s)] = \frac{F_1(0)}{\Phi(0)} \sigma(t) + \sum_{k=1}^n \frac{F_1(s_k)}{s_k \Phi'(s_k)} e^{s_k t} \sigma(t). \quad (37)$$

Это соотношение предполагается вывести самостоятельно.

Функция $f(t)$, соответствующая L -изображению, имеющему только простые полюсы, состоит из суммы экспоненциальных функций и постоянного сигнала. Если корни $F_2(s)$ комплексно-сопряженные, а их вещественные части отрицательны, то искомый сигнал состоит из затухающих с течением времени косинусоидальных или синусоидальных функций. Если же вещественные части корней положительны, то функции нарастают со временем.

Пример 1. Пусть изображение сигнала отклика некоторой цепи на элементарное воздействие в виде функции Хевисайда $\sigma(t)$ имеет вид

$$F(s) = \frac{U_0}{s} \frac{s+3}{(s+2)(s^2+2s+2)}.$$

Нетрудно видеть, что L -изображение сигнала имеет нуль при $s = -3$ и четыре полюса. Прежде всего найдем корни третьего сомножителя $F_2(s)$: $s^2+2s+2=0 \implies s = -1 \pm \sqrt{-1} = -1 \pm j$. Теперь представим $F(s)$ в виде суммы четырех слагаемых

$$F(s) = U_0 \left(\frac{A_0}{s} + \frac{A_1}{s+2} + \frac{A_2}{s-(-1+j)} + \frac{A_3}{s-(-1-j)} \right).$$

Для расчета $A_0 - A_3$ по описанной выше методике потребуется аналитическое выражение производной $\Phi'(s)$. Дифференцируя $\Phi(s) = (s+2)(s^2+2s+2)$, получим:

$$\Phi'(s) = (s^2+2s+2) + (s+2)(2s+2). \quad (38)$$

Расчет $A_0 - A_3$ по формуле (37) дает

$$A_0 = \frac{3}{4}, \quad A_1 = -\frac{1}{4}, \quad A_2 = \frac{2+j}{-1+j} = \frac{-1+2j}{4}, \quad A_3 = \frac{2-j}{-1-j} = \frac{-1-2j}{4}.$$

С учетом (12) и (13) искомое выражение для оригинала принимает вид

$$f(t) = U_0 \left(\frac{3}{4} - \frac{1}{4} e^{-2t} + \frac{-1+2j}{4} e^{(-1+j)t} + \frac{-1-2j}{4} e^{(-1-j)t} \right) \sigma(t)$$

или

$$f(t) = U_0 (0.75 - 0.25 e^{-2t} - 0.5 e^{-t} \cos t - e^{-t} \sin t) \sigma(t).$$

Переменные слагаемые с течением времени затухают и $f(t) \rightarrow 3/4$.

Если входным сигналом является прямоугольный импульс с амплитудой U_0 и длительностью t_n , то выходной сигнала принимает вид:

$$f(t) = U_0 (0.75 - 0.25 e^{-2t} - 0.5 e^{-t} \cos t - e^{-t} \sin t) \sigma(t) - \\ - U_0 \left(0.75 - 0.25 e^{-(2t-t_n)} - 0.5 e^{-(t-t_n)} \cos (t - t_n) - e^{-(t-t_n)} \sin (t - t_n) \right) \sigma(t - t_n).$$

ЭКСПЕРИМЕНТАЛЬНАЯ ЧАСТЬ

1. Экспериментальная установка

В лабораторной работе предполагается сопоставить напряжения, полученные на экспериментальной установке, с результатами расчета на микро-ЭВМ спектральным и операторным методами. В качестве измерительного прибора используется двухканальный осциллограф GOS-620.

Электрическая схема экспериментальной установки представлена на рис. 5. Она содержит катушку индуктивности ($L = 0.31$ Гн, $R_L = 30$ кОм), два конденсатора с емкостью $C_1 = 1180$ пф (RC - цепь) и $C_2 = 1290$ пф (RCL - цепь), три набора резисторов с сопротивлениями $R_1 = 5$ кОм, $R_2 = 100$ кОм, $R_3 = 300$ кОм и $R_4 = 2$ МОм для RC - цепи; $R_1 = 51$ Ом, $R_2 = 240$ Ом, $R_3 = 2.4$ кОм и $R_4 = 24$ кОм для RL - цепи; $R_1 = 1$ кОм и $R_2 = 15$ кОм для RCL - цепи и генератор импульсов прямоугольной формы – мультивибратор M .

Приведенный набор дискретных элементов позволяет задавать более 20 вариантов заданий и оценивать избирательные свойства линейных цепей, наблюдать отклики линейной цепи, возникающие при колебательных и апериодических процессах, проверять условия дифференцирования и интегрирования импульсных сигналов, выявлять оптимальные для конкретных задач параметры и режимы функционирования.

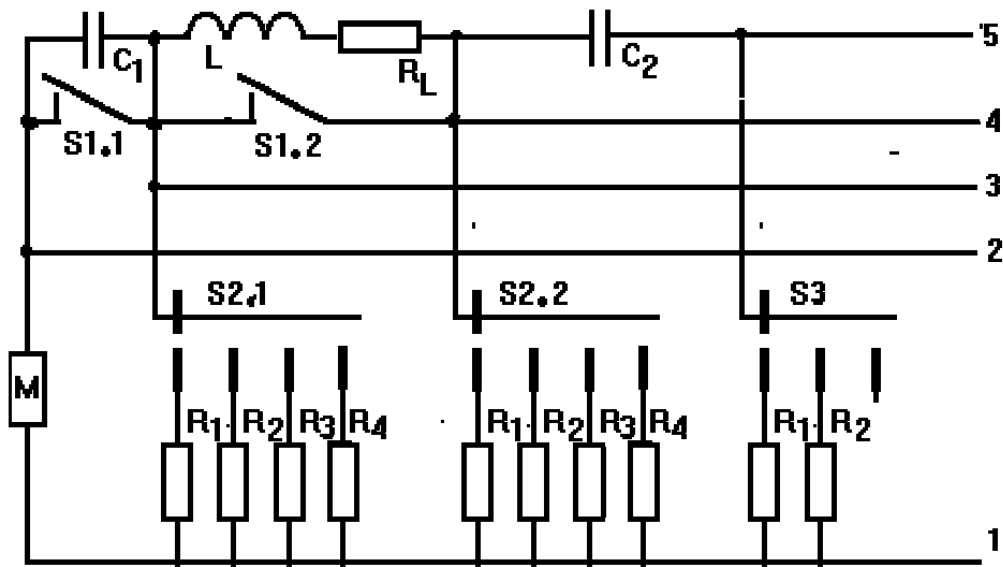


Рис. 5.

Выбор режимов работы линейных цепей осуществляются переключателями $S1 - S3$. При исследовании откликов RC -цепи переключатель $S1.1$ находится в разомкнутом состоянии, а переключатель $S1.2$ замкнут, при исследовании откликов RL -цепи состояние этих переключателей изменяется на противоположное. Переключателями $S2.1$ и $S2.2$ дискретно изменяются постоянные времени RC - и RL -цепи соответственно. При исследовании процессов в RCL -цепи выключателя $S1.1, S1.2, S2.1$ и $S2.2$ разомкнуты.

Переключатели $S1 - S3$ и коммутатор выходов с клемм 1 - 5, позволяющий измерять напряжения на различных элементах, конструктивно объединены в установке в виде кнопочных переключателей $\Pi_1 - \Pi_5$.

Переключатель Π_1 подключает первый канал осциллографа к мультивибратору M или к элементам RC -, RL -, RCL -цепи с помощью коаксиального разъема «ОСЦ». Второй канал осциллографа постоянно контролирует форму сигнала, поступающего на вход исследуемой цепи, и подключается к экспериментальной установке с помощью коаксиального разъема «П».

Переключатель Π_2 объединяет $S2.1$ и $S2.2$, а переключатель Π_3 используется для подключения первого канала осциллографа к резистору или реактивному элементу при исследовании RC - и RL -цепи.

Переключатель Π_4 коммутирует выходные напряжения при исследовании RCL -цепи и устанавливается в положение « d, f » при исследовании RC - или RL -цепи. Наконец, переключатель Π_5 используется совместно с переключателем Π_1 при переходе от измерений RC -цепи к RL -цепи, а также для перехода от апериодического режима к колебательному при исследовании RCL -цепи.

2. Порядок выполнения работы

1. Ознакомиться с экспериментальной установкой, включить ее в сеть и снять осциллограмму входного для исследуемых линейных цепей сигнала – выходного напряжения мультивибратора. Для этого подключить вход осциллографа к коаксиальному разъему установки, переключатель **СЕТЬ** установить в положение **ВКЛ**, переключатели Π_1 и Π_4 - в положение «**П**».

Синхронизировать развертку осциллографа и, используя показания переключателя частоты развертки, измерить частоту повторения и скважность последовательности импульсов, вырабатываемых мультивибратором M . Рассчитать длительность импульсов $t_{и}$ и период последовательности T . Изобразить спектр входного сигнала.

2. Исследовать прохождение прямоугольных импульсов через RC -цепь. С этой целью установить переключатели Π_1 и Π_5 в положение **RC**, а Π_4 - в положение « d, f ». Изменяя переключателем Π_2 сопротивление RC -цепи, зарисовать осциллограммы напряжений на резисторе (переключатель Π_3 - в положении **R**) и на конденсаторе (переключатель Π_3 - в положении **C**). Используя второй канал осциллографа, сопоставить полученные осциллограммы со входным сигналом. Для каждого значения R вычислить отношение длительности импульсов $t_{и}$ к постоянной времени цепи τ и объяснить в отчете по работе причины деформации импульса в зависимости от постоянной времени цепи.

3. Исследовать прохождение прямоугольных импульсов через RL -цепь. С этой целью установить переключатели Π_1 и Π_5 в положение **RL**, а Π_4 - в положение « d, f ». Изменяя переключателем Π_2 сопротивление RL -цепи, зарисовать осциллограммы напряжений на резисторе (переключатель Π_3 - в положении **R**) и на катушке индуктивности (переключатель Π_3 - в положении **L**). Для каждого значения R вычислить отношение длительности импульсов $t_{и}$ к постоянной времени цепи τ и объяснить в отчете по работе причины деформации импульса в зависимости от постоянной времени цепи.

4. Исследовать прохождение прямоугольных импульсов через RCL -цепь. Для этого установить переключатель Π_1 в положение **RCL** и зарисовать осциллограммы напряжений на резисторе, конденсаторе и катушке индуктивности (переключатель Π_4 соответственно в положениях **R**, **C** или **L**) при двух положениях переключателя Π_5 - $R < 2\rho$ и $R > 2\rho$. Рассчитать $\rho = \sqrt{L/C}$ и объяснить полученные осциллограммы.

В положении **Р** для сопоставления входного и выходного сигналов можно использовать второй канал осциллографа.

5. Для указанного преподавателем задания рассчитать операторным методом и построить на одном рисунке в одинаковом масштабе зависимости U_R, U_L или U_C от времени. На том же рисунке изобразить экспериментально полученную зависимость. Объяснить различие осциллограммы и результатов расчета операторным методом.

Задание 1: Рассчитать операторным методом временные изменения U_R и U_C в RC -цепи при $R = 5$ кОм

Задание 2: Рассчитать операторным методом временные изменения U_R и U_C в RC -цепи при $R = 2$ МОм

Задание 3: Рассчитать операторным методом временные изменения U_R и U_L в RL -цепи при $R = 24$ кОм

Задание 4: Рассчитать операторным методом временные изменения U_R и U_L в RL -цепи при $R = 51$ Ом

Задание 5*: Рассчитать операторным методом временные изменения U_R в апериодическом и колебательном режимах RCL -цепи и объяснить изменения напряжения при переходе из апериодического режима в колебательный.

Задание 6*: Рассчитать операторным методом временные изменения U_C в апериодическом и колебательном режимах RCL -цепи и объяснить изменения напряжения при переходе из апериодического режима в колебательный.

Задание 7*: Рассчитать операторным методом временные изменения U_L в апериодическом и колебательном режимах RCL -цепи и объяснить изменения напряжения при переходе из апериодического режима в колебательный.